



Creative Commons Attribution 4.0 International License (CC BY 4.0)

جغرافیا و مخاطرات محیطی، شماره سی و پنجم، پاییز ۱۳۹۹

صفحه ۲۰۵-۲۲۵

DOI: <https://dx.doi.org/10.22067/geoeh.2020.67016.0>

مقاله پژوهشی

بررسی اثر شاخص‌های مورفو‌لوژیکی رودخانه گرگانروود بر پهنه‌های سیلاب با استفاده از داده‌های سنجش از دور و تحلیل‌های مکانی (منطقه مطالعاتی: شهر آق‌قلای)

کامران گنجی - کارشناس ارشد آب و سازه‌های هیدرولیکی، دانشکده مهندسی عمران، دانشگاه صنعتی شاهرود، ایران
سعید قره‌چلو^۱ - استادیار گروه نقشه‌برداری، دانشکده مهندسی عمران، دانشگاه صنعتی شاهرود، ایران
احمد احمدی - دانشیار گروه آب و محیط‌زیست، دانشکده مهندسی عمران، دانشگاه صنعتی شاهرود، شاهرود، ایران

تاریخ دریافت: ۱۳۹۹/۷/۱ تاریخ بازنگری: ۱۳۹۹/۸/۴ تاریخ تصویب: ۱۳۹۹/۹/۱

چکیده

عبور رودخانه گرگانروود از شهرستان آق‌قلای همواره موجب سیلاب‌های محربی شده است. هدف از تحقیق حاضر بررسی اثرات مورفو‌لوژیکی رودخانه گرگانروود بر پهنه‌های سیلاب ۱۳۹۸ شهرستان آق‌قلاست؛ بدین منظور از تصاویر سری زمانی ماهواره‌های Sentinel-2 و Landsat-8 به منظور پایش کامل سیلاب استفاده شد. همچنین شاخص‌های MNDWI و NDWI برای آشکارسازی پهنه‌های سیلاب بر تصاویر ماهواره‌ای اعمال گردید. پارامتر ضریب سینوزیته و تعداد و میانگین شعاع پیچانرودها در چهار بازه در حدفاصل روستای سلاق‌بلقی تا روستای دوگونچی با استفاده از نرم‌افزار Google Earth و AutoCAD محاسبه گردید. مساحت پهنه‌های به دست آمده با استفاده از شاخص MNDWI تقریباً ۸۸ درصد از مساحت پهنه‌های بدست آمده از شاخص NDWI بیشتر بود. شاخص سینوزیته رودخانه در حدفاصل روستای سلاق‌بلقی تا روستای محمد آلق برابر ۳/۸۸ (پیچانروdi شدید) است. با توجه به تخریب دیواره بیرونی پیچانرودهایی که شعاع انحنای کمی دارند مقدار زیادی گلولای همراه با سیلاب به سمت مناطق شمال‌شرقی و جنوب‌شرقی جریان پیدا کرده بود. در تاریخ چهارم فروردین ۱۳۹۸، در حدفاصل روستای آقتکه‌خان تا روستای دوگونچی میانگین عرض کم بستر رودخانه و شیب بستر بسیار کم (دو در ده هزار) باعث عدم حرکت سیلاب شده که منجر به بالا آمدن سطح آب رودخانه و خروج آن از بستر رودخانه در محدوده شهری آق‌قلای شد. دیواره‌سازی قوس‌های بیرونی پیچانرودها، کاشت گیاهان با

جدب آب زیاد در حریم کمی رودخانه، تعریض و لایروبی بستر رودخانه می‌تواند تا حد زیادی از آبگرفتگی شهر آق قلا هنگام سیلاب جلوگیری نماید.

کلیدواژه‌ها: آق قلا، پهنه‌بندی سیل، رودخانه گرگانرود، سنجش از دور، مورفولوژی، NDWI

۱- مقدمه

در دهه‌های اخیر با توجه به تغییرات الگوی آب و هوایی شاهد افزایش وقوع سیلاب‌هایی باشد بالا هستیم، که علاوه بر به خطر انداختن جان و اموال انسان‌ها، باعث از بین رفتن مورفولوژی طبیعی رودخانه‌ها شده و در صورت عدم بهسازی مورفولوژی رودخانه‌ها شرایط را برای وقوع سیلاب‌های بعدی فراهم می‌کند (بالاچ^۱ و همکارن، ۲۰۱۹). خصوصیات مورفولوژیکی رودخانه‌ها ارتباط و اثرگذاری مهمی در خروج سیلاب از مدخل رودخانه‌ها و ایجاد سیلاب دارد و اگر چنانچه رودخانه شهری باشد، از اهمیت دوچندانی برخوردار می‌شود. در این راستا کشف تغییرات ظاهری، پایش و نقشه‌بندی آن‌ها به تحلیل مناطق سیل خیز و سرعت عمل این تغییرات در طی زمان کمک می‌کند و می‌تواند به برنامه‌ریزی‌های کنترل و کاهش خسارت سیلاب منجر شود (کومار^۲ و همکاران، ۲۰۱۳). دشت‌های سیلابی در اثر جابه‌جایی رودخانه‌های فعال، متحمل تغییرات قابل ملاحظه‌ای در طول زمان می‌شوند که با رسوی حمل شده از بالادست توسط سیلاب در اثر نیروی گرانش باعث انباشت در بستر و تغییر سطح مقطع و مسیر رودخانه می‌شود (بیاتی خطي، ۱۳۹۲). استفاده از تصاویر ماهواره‌ای با تفکیک مکانی بال، این امکان را بوجود می‌آورد تا تغییرات مورفولوژیکی رودخانه‌ها و پهنه‌های سیلاب ناشی از مورفولوژی رودخانه‌ها را شناسایی نماییم. محققین زیادی در داخل و خارج از کشور بر روی اثرات متقابل سیلاب و مورفولوژی رودخانه به کمک داده‌های سنجش از دور (RS)^۳ و سامانه اطلاعات جغرافیایی (GIS)^۴ به تحقیق پرداخته‌اند.

همایون و روشی^۱ (۲۰۲۰)، تغییرات مورفولوژی رودخانه ژلوم^۲ واقع در هندوستان که ناشی از وقوع سیلاب ۲۰۱۴ بود را مورد بررسی قرار دادند، و به این نتیجه رسیدند که طول جريان و میانگین عرض بستر رودخانه به ترتیب ۵۰۰ و ۲۵ متر کاهش یافته است و همچنین بیشترین فرسایش در مقاطعی که دارای پیچانرود زیاد و سیلابدشت‌هایی با پوشش گیاهی بود رخ داده است. کمترین مقدار خسارت در قسمت‌هایی از رودخانه که دیواره‌سازی و مستحکم سازی شده بوند صورت گرفته بود. لانگات^۳ و همکاران (۲۰۱۹)، به پایش تغییرات دینامیکی کanal رودخانه تانا (کنیا) با استفاده از رویکردهای سنجش از دور و GIS پرداختند، آن‌ها مقدار افزایش و تغییرات

1 Balasch

2 Kumar

3 Remote Sensing

4 Geographic Information System

5 Himayoun & Roshni

6 Jhelum river

7 Langat

فرسایش در یک باز را بوسیله تصاویر اپتیکی سری زمانی لندست محاسبه کردند و به این نتیجه رسیدند که عوامل رژیم جریان هیدرولیکی، کاربری زمین‌های بالادست، شب طبیعی کanal و پوشش گیاهی اطراف کanal بیشترین تأثیر در این تغییرات را داشته‌اند. کومار^۴ و همکاران (۲۰۱۳)، اثرات ژئومورفیکی سیلاب در سال ۲۰۱۱ را بر روی کanal رودخانه را پتی با استفاده از داده‌های سنجش از دور و GIS مورد مطالعه قرار دادند و به این نتیجه رسیدند که شکل سیلابدشت‌ها و خطوط کناری رودخانه جابه‌جایی جانبی را با توجه به قدرت جریان سیلاب به اندازه ۱۰ تا ۲۳ (Wm²) داشته است و بیشترین جابه‌جایی این کanal به طرف شمال غربی بوده است. جوکارسرهنگی و همکاران (۱۳۹۶)، به بررسی تغییرات مورفومتری رودخانه چهل‌چای نرماب با تاکید بر پیچانزرودها با استفاده از تصاویر هوایی و تصاویر Google Earth مربوط به سال‌های ۱۳۹۲ تا ۱۳۹۵ پرداختند و به این نتیجه رسیدند که پارامتر طول کanal این رودخانه ۶۲۰۰ متر، سینوزیته $0/3$ ، تعداد پیچانزرود ۳۱ حلقه، میانگین زاویه مرکزی $4/0$ درجه و میانگین عرض کanal آن ۹ متر نسبت به سال ۱۳۴۵ کاهش یافته است. یکی از متداول‌ترین روش‌ها برای استخراج پهنه‌های سیلاب استفاده از تصاویر ماهواره‌های اپتیکی می‌باشد (وانگ^۵ و همکاران، ۲۰۰۲). لذا با دسترس بودن تصاویر موجود از زمان وقوع سیلاب، به کمک شاخص‌های شناسایی آب و سیلاب مانند^۶ NDWI و MNDWI^۷ می‌توان پهنه‌های سیلاب را در هر بازه زمانی مورد پایش قرار داد (دی بالداسور و آنبروک^۱، ۲۰۱۲). اصلی‌ترین مانع استفاده از داده‌های اپتیکی برای پایش سیلاب حساسیت آنها نسبت به ابرها می‌باشد که معمولاً در زمان وقایع سیلاب وجود دارد، این فاکتور خود به تنها‌ی ایجاد مزاحمت می‌کند و علت دیگر تاریخ تصویربرداری می‌باشد، که در زمینه‌های عملیاتی پایش سیلاب با داده‌های اپتیکی باید این مانع گسترش را پذیرفت (موسی^۲ و همکاران، ۲۰۱۵). در این زمینه محققین زیادی به مطالعه پرداختند از جمله، کوانگ^۳ و همکاران (۲۰۱۸)، مساحت آب‌های سطحی رودخانه و ولتا^۴ را با استفاده از داده‌های ماهواره ۲-Sentinel و 8-Landsat با استفاده از شاخص NDWI بدست آوردند و به این نتیجه رسیدند که برای شناسایی آب‌های سطحی تصاویر ماهواره ۲-Sentinel از دقت بالاتری برخوردار است. دو^۵ و همکاران (۲۰۱۶)، با استفاده از تصاویر اپتیکی ماهواره ۲-Sentinel و شاخص‌های MNDWI و NDWI و فیلترهای IHS و HPF مساحت آب‌های سطحی را برای مناطق ساحلی و نیز بدست آوردن، نتایج آنان نشان می‌داد که شاخص MNDWI نسبت به شاخص NDWI از دقت بالاتری برخوردار است. یکی از مهمترین کاربردهای

¹ Kumar² Wang³ Normalized Difference Water Index⁴ Modified Normalized Difference Water Index⁵ Di Baldassarre and Uhlenbrook⁶ Musa⁷ Kwang⁸ Volta River⁹ Du

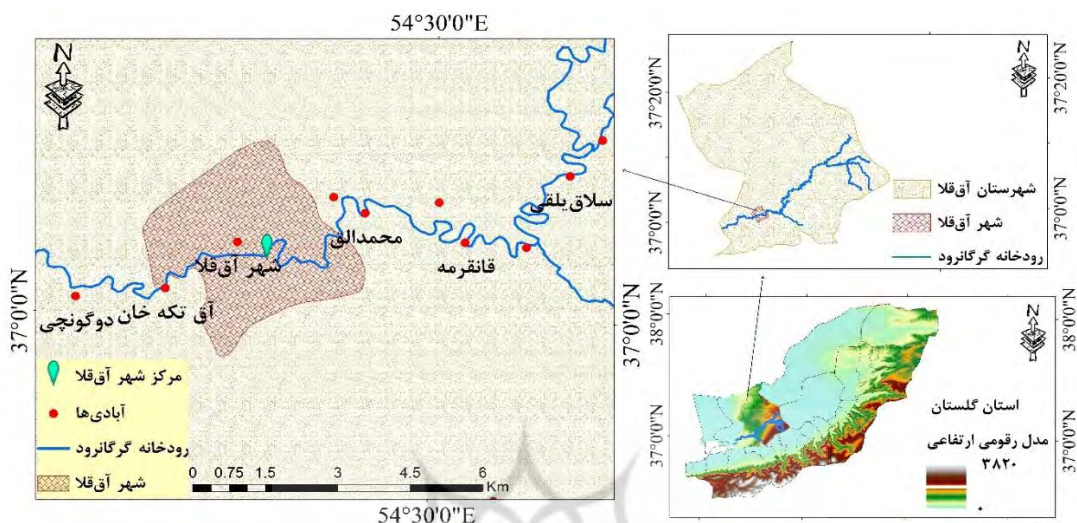
نقشه‌های پهنه‌بندی سیلاب برای شهرستان آق قلا تعیین حدود گذرگاه سیل و اراضی سیل‌گیر حاشیه رودخانه گرگانرود در مناطق شرقی شهر آق قلا می‌باشد. از سوی دیگر اغلب روستاهای شهرستان آق قلا از جمله سلاقیلقی، قانقرمه، سیدلر، دوگونچی و شهر آق قلا در حاشیه خطر این رودخانه قرار دارند. شهر آق قلا به دلیل عبور رودخانه گرگانرود همواره مورد تهدید سیلاب‌های مخربی چون سیل فروردین ۱۳۹۸ و سیل‌های سال ۸۰ ۸۱ ۸۶ و ۹۳ قرار داشته است. لذا شناسایی رفتار رودخانه و پایش تغییرات مورفولوژی رودخانه گرگانرود هنگام سیلاب می‌تواند کمک شایانی به کنترل سیلاب شهرستان آق قلا نماید. هدف این تحقیق استخراج و محاسبه مساحت پهنه‌های سیلاب فروردین ۱۳۹۸ شهرستان آق قلا به کمک تصاویر اپتیکی ماهواره‌های Sentinel-2 و Landsat-8 با استفاده از نسبت‌گیری طیفی باندهای مرئی و ارتباط آن با پارامترهای مورفولوژیکی رودخانه گرگانرود در حدفاصل روستاهای سلاقیلقی تا روستای دوگونچی می‌باشد. همچنین جهت صحبت‌سنگی، نتایج نهایی با اطلس سیل تهیه شده توسط پژوهشکده حفاظت خاک و آبخیزداری کشور و تصاویر میدانی گرفته شده از سیلاب مقایسه گردید.

۲- روش تحقیق

۱-۲- منطقه مطالعاتی

شهر آق قلا در استان گلستان و مرکز شهرستان آق قلا می‌باشد، که در محدوده مختصات جغرافیایی ۳۷ درجه شمالی و ۵۴ درجه شرقی قرار داد. تقریباً ۵۰ درصد اراضی شهرستان آق قلا به دلیل عبور رودخانه گرگانرود دارای کاربری کشاورزی، گندم و جو می‌باشد، و مناطق شمالی و شمال‌غربی شهر آق قلا بیشتر از نوع باتلاقی و شورهزار می‌باشد که فاقد پوشش گیاهی و درختان مناسب است، همچنین مناطق جنوبی شهر آق قلا مناطق صنعتی و باغ می‌باشد. اقلیم شهرستان آق قلا مانند منطقه ترکمن صحرا بیابانی گرم و مرطوب می‌باشد. این شهرستان در سه حوضه‌آبریز گرگانرود، قره‌سو و اترک قرار دارد. حوضه‌آبریز گرگانرود از ارتفاعات شرقی استان گلستان و خراسان شمالی سرچشم می‌گرفته که سرشاره اصلی آن رودخانه گرگانرود می‌باشد، حوضه‌آبریز قره‌سو از دامنه‌های شمالی البرز‌شرقی سرچشم می‌گرفته که برخی از زیرشاخه‌های آن وارد رودخانه گرگانرود می‌شود، و حوضه‌آبریز اترک که قسمتی از آن در ایران و قسمتی دیگر در کشور ترکمنستان قرار دارد وارد رودخانه اترک شده که از مناطق شمالی شهرستان آق قلا به دریای خزر می‌ریزد. رودخانه گرگانرود یکی از مهم‌ترین شاخه‌های سیل‌خیز استان گلستان می‌باشد که طول آن حدود ۲۵۱ کیلومتر می‌باشد که تقریباً ۸۵ کیلومتر آن از شهرستان آق قلا و حدوداً ۱۲ کیلومتر آن از محدوده شهری آق قلا عبور می‌کند. جهت جریان آب این رودخانه از شرق به غرب می‌باشد و پس از عبور از شهرهای گنبد کاووس و آق قلا در غرب خواجه‌نفس با تشکیل دلتای بزرگی به دریای خزر می‌ریزد. متوسط آبده‌ی

سالانه رودخانه گرگانرود حدود ۹۲۰ میلیون مترمکعب می‌باشد. موقعیت و کاربری اراضی شهرستان آق قلا در شکل ۱ نشان داده شده است.



شکل ۱- منطقه مطالعاتی، شهرستان آق قلا، محدوده روستای سلاق یلقی تا روستای دوگونچی

۲- داده‌های مورد استفاده در تحقیق

ماهواره اپتیکی Sentinel-2A از سری ماهواره‌های سنتینل می‌باشد که توسط (سازمان فضایی اروپا)^۱ در سال ۲۰۱۵ به فضا پرتاب شد. این ماهواره در ۱۳ باند در محدوده طیف مرئی، فروسرخ نزدیک و فروسرخ موج کوتاه از طیف الکترومغناطیسی تصویربرداری می‌کند. قدرت تفکیک این تصاویر در سه دسته ۱۰، ۲۰، ۶۰ متر می‌باشد (دو^۲ و همکاران، ۲۰۱۶). در تحقیق حاضر برای تولید نقشه‌های پهنه‌بندی سری زمانی سیلاب، نیاز به داده‌های متعددی در بازه وقوع سیلاب بود، به دلیل اینکه در زمان وقوع سیلاب درصد ابر زیادی در برخی از تصاویر Sentinel-2 وجود داشت و با توجه به دوره بازگشت ده روزه آن دو تصویر مناسب از واقعه سیلاب موجود بود، به همین دلیل از داده‌های ماهواره Landsat-8 که محدوده باندهای تصویربرداری آن مشابه Sentinel-2 بود و همچنین با توجه دوره بازگشت شانزده روزه آن از (پرتاب زمین‌شناسی آمریکا)^۳ به عنوان مکمل برای تولید نقشه‌های پهنه‌بندی سری زمانی سیلاب استفاده شد. مشخصات تصاویر مورد استفاده در تحقیق در جدول ۱ نمایش داده شده است. پارامترهای مورفولوژیکی رودخانه گرگانرود شامل طول رودخانه، تعداد پیچانرودها، عرض و شعاع پیچانرودها و ضریب

۱ <https://scihub.copernicus.eu/>

۲ Du

۳ <https://earthexplorer.usgs.gov/>

خمیدگی (سینوزیته) رودخانه با استفاده از تصاویر ماهواره‌ای، نرم‌افزار Google Earth, AutoCAD و بازدیدها و ارزیابی‌های میدانی استخراج گردید.

جدول ۱- مشخصات تصاویر سری زمانی دانلود شده ماهواره‌های ۲ و Landsat-8

تصاویر	تاریخ	درصد ابرناک
LC08_L1T P	۱۴ فروردین ۱۳۹۸	۸۳۲
S2B-MSIL2A	۱۶ فروردین ۱۳۹۸	۳/۸۷
S2B-MSIL2A	۲۶ فروردین ۱۳۹۸	۲۲/۷۷
S2B-MSIL2A	۵ اردیبهشت ۱۳۹۸	۳/۴۵

۲-۳- پردازش رادیومتریک و اتمسفریک داده‌ها

خطای رادیومتریک بر اثر تغییرات انرژی الکترومغناطیسی رسیده به سنجنده ناشی از سایه توپوگرافی سطح زمین یا پخش و جذب امواج الکترومغناطیسی بوجود می‌آیند، که اغلب نتایج نهایی را دچار مشکل می‌کند (Nandi^۱ و همکاران، ۲۰۱۷). تصحیحات رادیومتریک و اتمسفریک برای برطرف کردن خطاهای ناشی از جذب و پخش اتمسفر و افزایش آشکارسازی طیفی بر روی تصاویر صورت می‌گیرد (Zantov و Astrovil^۲, ۲۰۱۹؛ Zhou^۳ و همکاران، ۲۰۱۹). جهت برطرف کردن خطاهای بر روی تصویر ماهواره Landsat-8، تصحیح رادیومتریکی رادیانس^۴، سپس تصحیح اتمسفری^۵ FLAASH بر تصاویر اعمال گردید و همچنین حاشیه‌های تصویر که ارزش پیکسل صفر داشتند، حذف گردید. با بررسی نمودار تغییر طیفی، مقدار پخش اتمسفر در تصاویر Landsat-8، بین پنج تا ده درصد بود، که بعد از اعمال تصحیح اتمسفری به دو درصد کاهش یافت. جهت بررسی رفتار طیفی مولفه‌های مؤثر در سیلاب، میزان ارزش عددی پیکسل‌ها قبل از اعمال الگوریتم تغییر مقیاس^۶ برای مولفه‌های آب، مناطق مرطوب و پوشش گیاهی به ترتیب برابر ۲۷۰۰، ۲۱۰ و ۳۸۰۰ بود، که بعد از اعمال الگوریتم تغییر مقیاس میزان ارزش عددی آنها به ترتیب به ۰/۲۴، ۰/۰۳۶ و ۰/۰۳۹ کاهش یافت. میزان ارزش عددی پیکسل‌هایی که بالاتر از یک و کمتر از صفر بودند، به عنوان بدپیکسل شناخته شده و برابر صفر در نظر گرفته شدند. بدلیل اینکه تصاویر ماهواره Sentinel-2, L2A، تصحیح رادیومتریک و اتمسفریک به صورت پیش‌فرض توسط سازمان فضایی اروپا بر روی آنها اعمال شده

۱ Nandi

۲ Szantoi & Strobl

۳ Zhou

۴ Radiance

۵ Fast Line-of-sight Atmospheric Analysis of Spectral Hypercube

۶ Rescale, [(b1 le 0)*0+(b1 ge 10000) *1+(b1 gt 0 and b1 lt 10000)*float(b1)/10000]

است (Szantoi and Strobl, 2019)، برای اطمینان تصحیح رادیومتریک رادیانس و تصحیح اتمسفری^۱ QUAC^۱ بر آنها اعمال شد، اما تغییری محسوسی در کیفیت تصاویر مشاهده نشد. به منظور افزایش دقت در نتایج نهایی از تصاویری که در صد پوشش ابر و میزان پراکنش اتمسفر در آنها کمتر از بود، در این تحقیق استفاده شد.

۴-۲- استخراج پهنه‌های سیلاب با استفاده از شاخص‌های NDWI و MNDWI

شاخص NDWI رابطه (۱)، اولین شاخص شناسایی آب می‌باشد که توسط مک فترز در سال ۱۹۹۶ ارائه شد که در پهنه‌بندی و آشکارسازی آب‌های آزاد با استفاده از داده‌های سنجش از دور بکار می‌رود (مک فترز^۲، ۱۹۹۶). در این شاخص از ترکیب باند مادون قرمز نزدیک (NIR^۳) با طول موج ۸۴۲ نانومتر و باند سبز (GREEN) با طول موج ۵۶۰ نانومتر استفاده شده است.

$$NDWI = \frac{(Green-NIR)}{(Green+NIR)} \quad \text{رابطه (۱)}$$

در شاخص NDWI با کاهش بازتاب ویژگی‌های غیر آب مانند گیاه و خاک در طول موج باند مادون قرمز نزدیک (NIR) و همزمان افزایش بازتاب آب در طول موج باند سبز (Green) باعث آشکارسازی مناطق سیلابی از غیرسیلابی می‌شود؛ با اعمال این شاخص مقدار ارزش بازتاب پیکسل‌ها در محدوده بین $-1 - \frac{1}{2}$ تا $+1 + \frac{1}{2}$ قرار می‌گیرند (مک فترز^۲، ۱۹۹۶)، که مقادیر $-1 - \frac{1}{2}$ تا صفر نشان دهنده مناطق غیرسیلابی و مقادیر صفر تا $+1 + \frac{1}{2}$ نشان دهنده پهنه‌های سیلابی می‌باشد (مک فترز^۲، ۱۹۹۶). مهم‌ترین مشکل این شاخص ناتوانی در تشخیص مناطق ساختمانی از آب‌های سطحی می‌باشد (ژو^۴، ۲۰۰۶). باند سبز در ماهواره‌های Landsat-8 و Sentinel-2 باشد شماره ۳ و باند مادون قرمز نزدیک در ماهواره Landsat-8 باند ۵ و ماهواره Sentinel-2 باند ۸ می‌باشد.

ژو در سال ۲۰۰۶ با جایگزین کردن باند ۱ SWIR با محدوده طول موج ۱۶۰۰ نانومتر به جای باند مادون قرمز نزدیک با طول موج ۸۴۲ نانومتر شاخص MNDWI رابطه (۲) را ارائه کرد (Xu, 2006). اصلی‌ترین مزیت این شاخص، کاهش و حذف خطاهای ناشی از سایه ساختمان‌ها می‌باشد که باعث تمیز دادن مناطق ساختمانی از مناطق سیلابی می‌شود (Xu, 2006).

$$MNDWI = \frac{(Green-SWIR1)}{(Green+SWIR1)} \quad \text{رابطه (۲)}$$

در این شاخص باند ۱ SWIR برای ماهواره Landsat-8 باند ۶ و ماهواره Sentinel-2 باند ۱۱ می‌باشد. با اعمال این شاخص سه نتیجه قابل انتظار است: (۱) مقادیر مشت بزرگتر برای آب و آب‌های خالص در باند SWIR-

¹ Quick Atmospheric Correction

² McFeeters

³ Near Infra-Red

⁴ Xu

نسبت به NIR، (۲) مقادیر منفی برای مناطق ساختمانی بدلیل بازتاب بیشتر در باند SWIR-1 نسبت به NIR، (۳) خاک و گیاهان همچنان مقادیر بازتاب منفی دارند.

۵-۲- شاخص‌های مورفو‌لوژیکی رودخانه

۵-۲-۱- شاخص سینوزیته

شاخص سینوزیته برای نشان دادن میزان شکستگی و انحنای کanal بکار می‌رود و مقدار آن از تقسیم طول کanal با احتساب پیچ و خم‌های موجود بر طول مستقیم کanal که ابتدا و انتهای هر بازه را به یکدیگر متصل می‌کند بدست می‌آید (جعفر بیگلو و همکاران ۱۳۹۱). بر اساس این پارامتر، اگر ضریب سینوزیته یک رودخانه بین ۱ تا ۰/۰۵ باشد رودخانه از نوع مستقیم است، اگر بین ۰/۰۵ تا ۰/۲۵ باشد از نوع سینوسی است، بین ۰/۲۶ تا ۰/۳۶ باشد از نوع پیچانروزی و اگر بیشتر از ۰/۳۶ باشد، از نوع پیچانروزی شدید است (یمانی و همکاران ۱۳۸۹). رابطه (۳) نحوه محاسبه این پارامتر را نشان می‌دهد.

$$S = \frac{C}{V} \quad (3)$$

در این رابطه S ضریب سینوزیته، C طول رودخانه با احتساب پیچ و خم‌ها و V طول رودخانه با خط مستقیم. به منظور استخراج پارامترهای مورفو‌لوژیکی رودخانه گرگانروز، بحرانی‌ترین قسمت رودخانه گرگانروز هنگام وقوع سیلاب فروردین ۱۳۹۸ در نظر گرفته شد. این محدوده از روستای سلاق‌بلقی در شرق شهر آق‌قلای شروع شده و تا روستای دوگونچی در غرب شهرستان آق‌قلای ادامه پیدا می‌کند. محدوده مورد نظر به چهار بازه تقسیم گردید که در شکل ۲ نشان داده شده است. طول مستقیم و غیرمستقیم رودخانه در هر چهار بازه با استفاده از نرم‌افزار Google Earth استخراج و با استفاده از نرم‌افزار AutoCAD مقادیر آنها اندازه‌گیری شد و با جای‌گذاری در رابطه (۳) ضریب سینوزیته محاسبه گردید، که در جدول ۲ آورده شده است.

جدول ۲- مقدار ضریب سینوزیته و نوع الگوی رودخانه

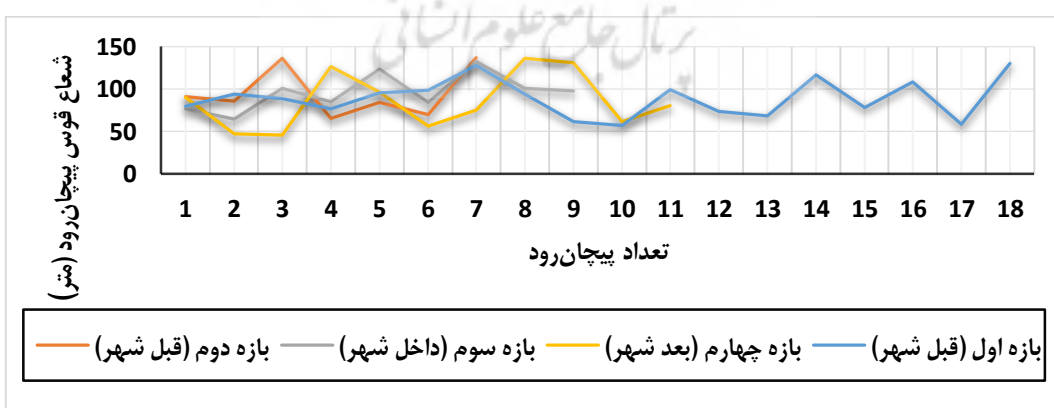
بازه چهارم	بازه سوم	بازه دوم	بازه اول	رودخانه گرگانروز
۴/۳۴۹	۵/۳۷۴	۴/۶۵۰	۹/۲۷۴	(C) طول رودخانه با احتساب پیچ و خم‌ها (کیلومتر)
۲/۷۱۱	۳/۸۰	۲/۲۸۰	۲/۳۹۰	(V) طول مستقیم رودخانه (کیلومتر)
۱/۶۰۴	۱/۴۱۴	۲/۰۳۹	۳/۸۸۰	(S) ضریب سینوزیته
پیچانروزی	پیچانروزی	پیچانروزی شدید	پیچانروزی شدید	الگوی رودخانه

۲-۵-۲- پیچانرودها

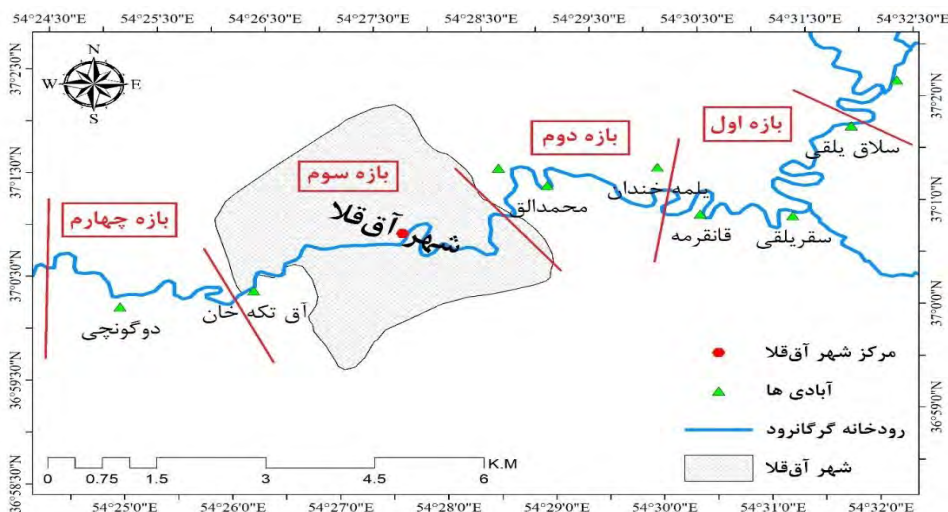
تعداد و شعاع قوس پیچانرودها از مهمترین شاخص‌ها در تغییرات مورفولوژیکی رودخانه‌ها می‌باشد که در گذر زمان دچار تغییرات زیادی می‌شوند. تعداد و شعاع قوس پیچانرودها، توانایی و قدرت رودخانه در برابر عبور سیلاب را تعیین می‌کند، به طوری که افزایش تعداد پیچانرودها در یک طول کوتاه، تخریب دیواره داخلی قوس افزایش یافته و مواد حاصل از فرسایش را در دیواره‌های قوس خارج انباشت کرده و باعث کاهش عمق خارجی و کاهش عرض بستر در پیچانرودها می‌شود (نوحه‌گر و یمانی، ۱۳۸۲). حجم زیادی از رسوبات توسط دبی جریان‌های بزرگ حل شده و از خط القعر قوس به خارج از بستر رودخانه حمل می‌شود و سیلاب‌هایی حاوی گل‌ولای را بوجود می‌آورد. این سیلاب در کنار آبگرفتگی‌های سطح شهر که ناشی از بسترها نفوذناپذیر می‌باشند، دو طیف رنگی از سیلاب را بوجود می‌آورند که شناسایی آنها توسط شاخص‌های طیفی را دچار مشکل می‌کند. جریان با سرعت پایین به مرور زمان باعث تخریب دیواره‌های کanal شده و رودخانه مجبور به تغییر مسیر شده و به تبع آن پیچانرود جدیدی را بوجود می‌آورد. تعداد، شعاع پیچانرودها و عرض رودخانه در پیچانرودها (فاصله داخلی خط الراس و خط القعر قوس پیچانرود) برای تمامی پیچانرودها در هر چهار بازه به کمک تصاویر ماهواره‌ای و Google Earth استخراج و با استفاده از نرم‌افزار AutoCAD محاسبه گردید (شکل ۳). میانگین این مقادیر در جدول ۳ و شکل ۲ نشان داده شده است.

جدول ۳- مقادیر تعداد پیچانرود، میانگین شعاع پیچانرودها، میانگین عرض کanal در پیچانرودها

بازه چهارم	بازه سوم	بازه دوم	بازه اول	رودخانه گرگانرود
۱۱	۹	۷	۱۸	تعداد پیچانرود
۸۶/۱۰۹	۹۶/۲۰۹	۹۵/۶۶۱	۸۹/۳۲۱	میانگین شعاع پیچانرودها (متر)
۱۶/۸۲۲	۲۲/۹۳۳	۱۷/۶۵۷	۱۷/۷۰۶	میانگین عرض کanal در پیچانرودها (متر)



شکل ۲- نمودار تعداد پیچانرود و شعاع قوس هر پیچانرود در بازه‌های مورد مطالعه



شکل ۳- بازه‌های مورد بررسی، (بازه اول) حدفاصل روستای سلاق یلقی تا قانقرمه، (بازه دوم) حدفاصل روستای قانقرمه تا شهر آق قلا، (بازه سوم) محدوده شهری آق قلا و (بازه چهارم) حدفاصل شهر آق قلا تا روستای دو گونچی

۳- نتایج

۱- تأثیر شاخص‌های مورفولوژیکی رودخانه گرگانزود در ایجاد پهنه‌های سیلابی

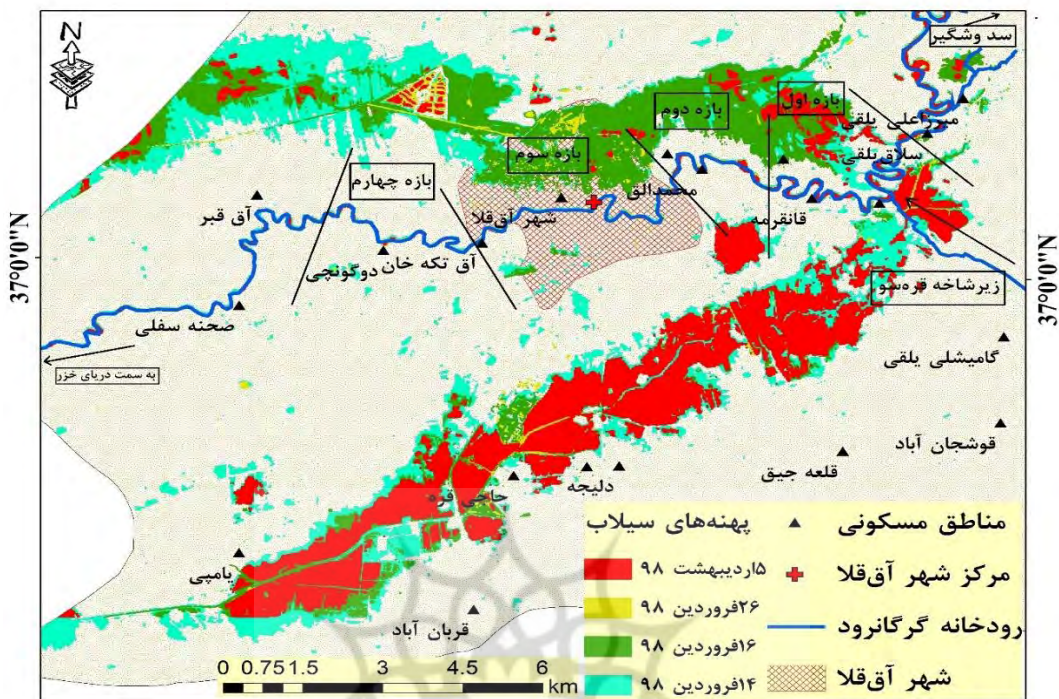
ضریب سینوزیته کanal رودخانه در محدوده روستای سلاق یلقی (بازه اول) برابر ۳/۸۸ می‌باشد که رودخانه از نوع پیچانزودی شدید است. در روز ۱۶ فروردین ۱۳۹۸ ماکسیمم دبی ۶۶۶ مترمکعب بر ثانیه (ایستگاه هیدرومتری سد وشمگیر، گزارش آب منطقه‌ای استان گلستان ۱۳۹۸) از سد وشمگیر و دبی ۷۳ مترمکعب بر ثانیه از زیرشاخص‌های رودخانه قره‌سو وارد این بازه از رودخانه شده است. با توجه به شیب طولی بسیار کم رودخانه (سه در ده هزار) در بازه اول و پیچانزودهای زیاد با میانگین شعاع ۸۹/۳۲۱ متر، حجم رسوبات انباسته شده در پیچانزودها باعث کاهش ظرفیت نرمال عبوری رودخانه شده است. اولین پیچانزود در بازه اول با شعاع حدوداً ۸۰ متر باعث خروج سیلاب از مدخل رودخانه شده که با توجه به شیب و توپوگرافی و نبود پوشش گیاهی جاذب آب، سیلاب به دشت‌های واقع در شمال شهر آق قلا جریان پیدا کرده و از مناطق شمالی شهر وارد محیط مرکزی شهر شده است. لذا پهنه‌های سیلاب مشاهده شده در تاریخ ۱۴ و ۱۶ فروردین ۹۸، (شکل ۴، بازه اول، پهنه‌های آبی و سبز رنگ) ناشی از دلایل ذکر شده می‌باشد.

ضریب سینوزیته کanal در محدوده روستای قانقرمه (بازه دوم) برابر ۲/۰۳۹ می‌باشد که رودخانه از نوع پیچانزودی شدید است، اما با توجه به اینکه حجم عمدۀ سیلاب در بازه اول از مدخل رودخانه خارج شده، حجم سیلاب کمتری به بازه دوم جریان پیدا کرده است؛ در روستای محمدالق، تصرف به حریم کمی (۲۰ متر) رودخانه

باعث تخریب دیواره‌های رودخانه در بعضی از مناطق شده، وجود پل عبور و مرور با تراز سطح عرضه پایین و عدم وجود پایه‌های مناسب مانند مانعی بر سر راه جریان باعث بالا آمدن سطح جریان و خروج سیلاب از مدخل شده است. با توجه به اینکه توانایی تفکیک مکانی تصاویر ماهواره Sentinel-2، ده متر می‌باشد، پهنه‌های سیلاب خارج شده از مدخل به آسانی قابل شناسایی نبود که این نشان می‌دهد مساحت پهنه‌های سیلاب کمتر از ۱۰۰ مترمربع بوده است.

ضریب سینوزیته کanal در محدوده شهری آق‌قلا (بازه سوم) برابر ۱/۴۱۴ می‌باشد که رودخانه از نوع پیچانروندی است. اکثر مسیر رودخانه در این بازه مستقیم بوده و میانگین شعاع پیچانرودها ۸٪ از میانگین شعاع پیچانرودهای بازه اول بیشتر است. میانگین عرض بستر کanal رودخانه در بازه سوم ۰/۲۶٪ بیشتر از میانگین عرض بستر کanal رودخانه در بازه‌های اول و دوم می‌باشد. و همچنین در نزدیکی پل‌ها دیواره‌سازی و بهسازی کanal رودخانه صورت گرفته است. اما در نزدیکی پل تاریخی آق‌قلا به دلیل عدم لایروبی کanal رودخانه دهانه‌های کناری پل تاریخی آق‌قلا مسدود شده و باعث تنگ‌شدنی عرض بستر رودخانه شده و به تبع آن سطح جریان بالا آمده و باعث خروج سیلاب از مدخل رودخانه شده است که باعث آبگرفتگی حریم کمی رودخانه را در پی داشته است.

ضریب سینوزیته کanal در محدوده روستای دوگونچی (بازه چهارم) برابر ۱/۶۰۴ که رودخانه از نوع پیچانروندی است. میانگین عرض پیچانرودها در این بازه حدوداً ۳۰٪ نسبت به بازه سوم کمتر است که نشان می‌دهد عرض رودخانه در پیچانرودها کمتر از سایر بازه‌ها است. با توجه به اینکه حجم عمدۀ سیلاب در بازه‌های اول، دوم و سوم از بستر رودخانه خارج شده بود، سیلاب نسبتاً کمتری در این بازه وارد شده است. در این بازه پهنه سیلابی از بستر خارج نشده است اما رودخانه در حداکثر ظرفیت عبوری خود قرار داشت. دبی جریان در زمان سیلابی باعث بالا رفتن شعاع هیدرولیکی شده و با توجه به نوع رسوب بستر و کناره‌های رودخانه که در این بخش بیشتر از جنس خاک لسی است، تنش برشی وارد بر کناره‌ها را افزایش می‌هد. موانع موجود در مسیر رودخانه مانند پایه‌های پل آق‌تکه‌خان، جریان‌های چرخشی (گردابی) را بوجود می‌آورد. این موانع به همراه تغییرات ناگهانی مقطع رودخانه و تغییر شیب از (سه در ده هزار به دو در ده هزار)، باعث جدا شدن خطوط جریان شده و تخریب مخصوصاً در کناره‌های پل حوالی روستای آق‌تکه‌خان به طرف پایین دست رودخانه گرگانزود آغاز می‌گردد. در محل انحنای رودخانه گرگانزود می‌گردد که مجدداً قدرت نیروی مالشی را بالا برده و در نتیجه خاک در همان محل انحنا جدا می‌شود که این آغاز توسعه و گسترش پیچانرود در رودخانه گرگانزود است. با توجه به فروکش کردن سیلاب در تاریخ ۲۶ فروردین پهنه سیلاب قابل توجهی شناسایی نشد (شکل ۴، پهنه زرد رنگ)، و پهنه‌ها قرمز رنگ مربوط به شکسته شدن آب‌بندان یلمه‌خندان در سوم اردیبهشت می‌باشد (شکل ۴، پهنه قرمز رنگ). پهنه‌های سری زمانی سیلاب فروردین ۱۳۹۸ با توجه به شرایط مورفولوژی رودخانه گرگانزود در شکل ۴ نشان داده شده است.

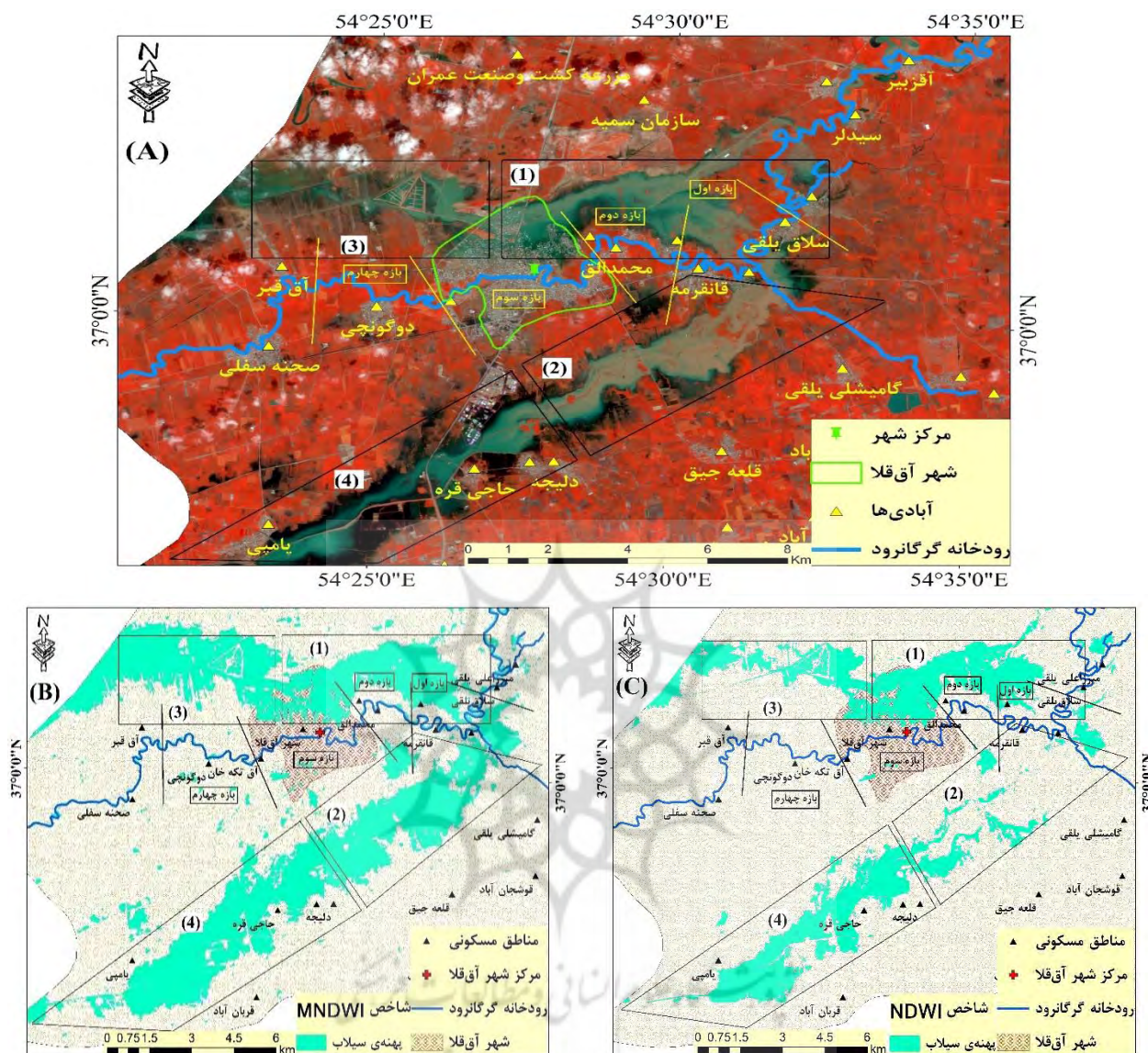


شکل ۴- پهنه‌های سری زمانی سیلاب، با توجه به شرایط مورفولوژی رودخانه گرگانرود (محدوده روستای سلاق یلقی تا روستای دوگونچی)

۲-۳- تأثیر مورفولوژی رودخانه گرگانرود بر سری زمانی پهنه‌های سیلابی

در سیلاب فروردین ۱۳۹۸ شهرستان آق قلا، پهنه‌های سیلاب موجود در تصاویر ماهواره‌ای در سیلابدشت‌ها از دو طیف رنگی آبی و قهوه‌ای تشکیل شده بود. به دلیل اینکه حجم عمدۀ رسوبات از جنس خاک رس یا لسی می‌باشد، به راحتی در خط‌القعر پیچانرودها که سرعت جریان کمی بالاتر است با جریان گردابه‌ای سیلاب در این ناحیه حل می‌شود و پهنه سیلابی به رنگ قهوه‌ای بوجود می‌آورد. به منظور استخراج و محاسبه مساحت پهنه‌های سیلاب ذکر شده از نسبت‌گیری طیفی باندهای مرئی تصاویر ماهواره اپتیکی 2 Landsat و Sentinel-8 استفاده گردید. با بررسی‌های انجام شده به صورت آزمون‌خطا در این تحقیق بر روی گراف‌های بازتاب‌طول موج برای آب، پوشش گیاهی، خاک، مناطق مسکونی، این نتیجه حاصل شد که مناسب‌ترین بازتاب‌طول موج برای شناسایی پهنه‌های سیلاب مربوط به باندهای سبز (B3) با طول موج ۵۶۰ نانومتر و مادون قرمز نزدیک (NIR) با طول موج ۸۴۲ نانومتر و مادون قرمز طول موج کوتاه (SWIR-1) با طول موج ۱۶۱۰ نانومتر می‌باشد. سپس شاخص‌های NDWI و MNDWI بر روی تصاویر اعمال گردید. با توجه مرور تحقیقات پیشین حدود آستانه‌های شناسایی پهنه‌های سیلاب

مریبوط به شاخص NDWI برای تصاویر Sentinel-2 در محدوده $+0/4$ تا $+0/2$ و برای تصاویر Landsat-8 در محدوده $+0/3$ تا $+0/5$ قرار داشت که این حدود آستانه با سعی و خطأ در بازه ۱-۱+ بسته آمده‌اند. حدود آستانه‌ای که همزمان سیلاب آبی رنگ و قوهه‌ای رنگ را در نظر بگیرد با استفاده از شاخص MNDWI برای سنجنده 2 Sentinel-2 در محدوده $+0/3$ تا $+0/6$ و برای سنجنده 8 Landsat-8 در محدوده $+0/4$ تا $+0/6$ قرار داشت. برای هر دو سنجنده و هر دو شاخص مقادیر منفی نشان دهنده مناطق خشک و فاقد آبگرفتگی بود. به طور کلی تصاویر مجموعه L2A سنجنده 2 Sentinel بدلیل عدم نیاز به تصحیحات اتمسفری و بالا بودن رزولوشن مکانی نسبت به سنجنده 8 Landsat در بسته آوردن پنهانها از سرعت و کیفیت بالاتری برخوردار است. همانطور که در (شکل ۵، A) مشاهده می‌شود، سیلاب حاوی گلولای در محل تلاقی زیرشاخه‌های رودخانه قره‌سو (باشه اول) وارد رودخانه گرگانزود شده است. اکثر این پنهانها (کادر مستطیل ۱ و ۲) در بازه اول قرار دارند. این پنهانها در شاخص MNDWI (شکل ۵، B) به دلیل اینکه طیف بازتابی مشابه زمین‌های مرطوب دارند، جزو پنهانهای سیلابی در نظر گرفته شده‌اند. اما پنهانهای حاوی گلولای و زمین‌های مرطوب که سیلاب در آنها فروکش کرده است (شکل ۵، A) در شاخص NDWI جزو پنهانهای سیلابی در نظر گرفته نشده‌اند (کادر مستطیل ۳ و ۴)، این مناطق به رنگ سیاه در (شکل ۵، A) دیده می‌شود. بنابراین بازه اول که شرایط مورفولوژی رودخانه از جمله تعداد پیچانزود زیاد، عرض بستر کم و همچنین عدم کانالیزاسیون وجود دارد، این بازه مستعد بوجود آوردن سیلاب‌هایی حاوی گلولای می‌باشد، که امکان استخراج آنها با استفاده از شاخص‌های شناسایی آب مانند NDWI وجود ندارد. با توجه به خروج حجم عمدۀ سیلاب در بازه‌اول، در بازه‌های دوم و سوم حجم سیلاب نسبتاً کمتری وارد شده است که رودخانه توان عبور آنرا داشته است، به همین دلیل پنهانه سیلابی بسیار ناچیزی از مدخل رودخانه خارج شده بود که در تصاویر ماهواره‌ای استفاده شده در این تحقیق قابل شناسایی نبودند. بعد از شناسایی پنهانهای سیلاب با استفاده از شاخص MNDWI و NDWI این نتیجه حاصل شد که شاخص MNDWI برای استخراج پنهانهای سیلاب حاوی گلولای و مناطقی که سیلاب فروکش کرده و زمین از رطوبت زیادی برخوردار است عملکرد بهتری دارد.

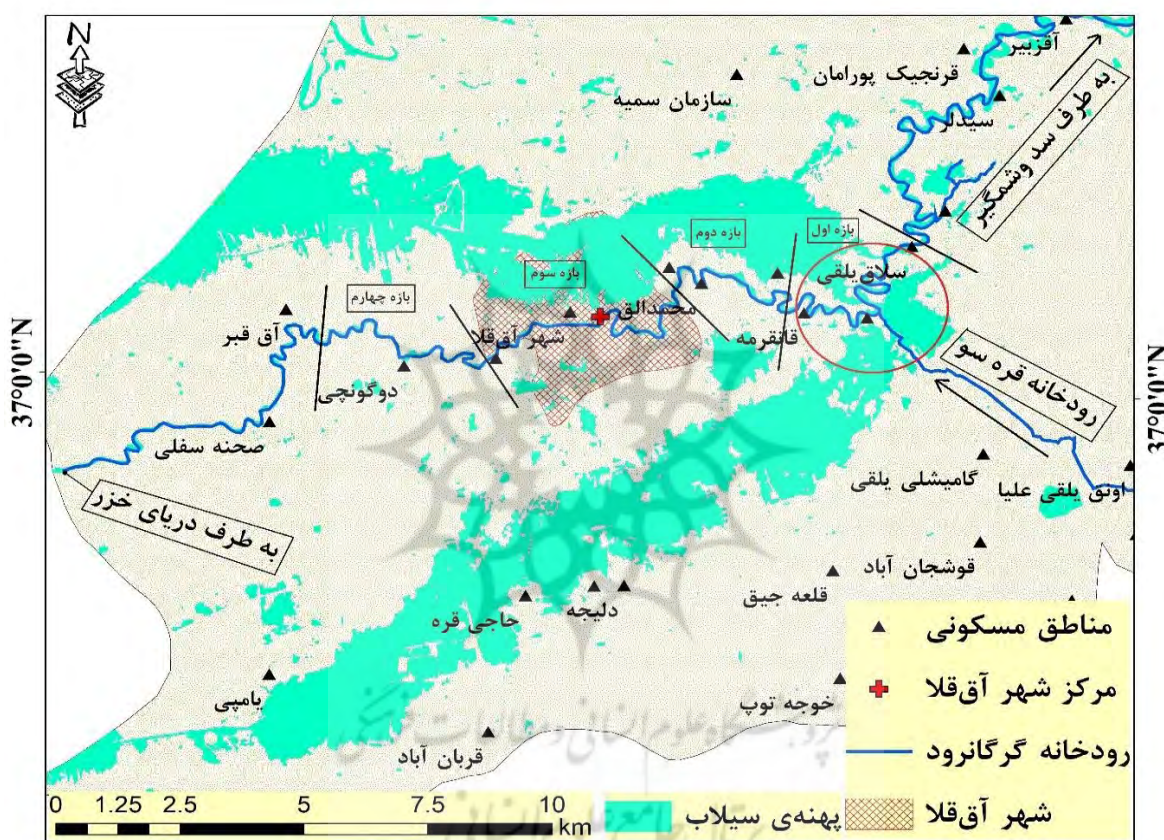


شکل ۵- تصویر (A) ماهواره ستینل-۲ تاریخ ۱۶ فوروردین ۱۳۹۸ (ترکیب رنگ کاذب)، تصویر (B) پهنه‌های سیلاب استخراج شده با استفاده از شاخص MNDWI و تصویر (C) پهنه‌های سیلاب استخراج شده با استفاده از شاخص NDWI

۴- نتیجه‌گیری و پیشنهادات

با شروع سیلاب در تاریخ ۲۳ اسفند ۱۳۹۷، رواناب‌های جاری شده از حوضه گرگانروود شرقی (سد وشمگیر) که شامل زیرحوضه‌های (اوغان، یل چشمه، تنگراه آق قمیش، تخت، پاسنگ، آقامام، لوه، نرماب، قوشه چشمه، کال آجی، کال شور، آقسو، چنارلی، زاو، قرنواه، قلی‌تپه، قره چشمه، قورچای، تیل آباد، دزدک، سیاهجوی و سفید

چشممه) می‌باشد، وارد رودخانه گرگانرود گردید. حجم عمدۀ رواناب‌ها در سد گلستان و سد وشمگیر ذخیره گردید. در تاریخ ۲۹ اسفند ۱۳۹۷، رودخانه گرگانرود در محدوده سد وشمگیر تا شهر آق‌قلّا با نصف ظرفیت نرمال عبوری خود (۱۲۰ مترمکعب بر ثانیه) سیلاب را عبور می‌داد. اما از تاریخ اول فروردین ۱۳۹۸ با طغیان رودخانه‌های زیرحوضه‌های گرگانرود غربی (محمدآباد، جعفرآباد، زرین‌گل، قرن‌آباد) حجم سیلاب مازادی از زیرشاخه‌های آن در محدوده روستای سلاق‌یلقی تا روستای قانقرمه وارد رودخانه گرگانرود شد (شکل ۶، دایره قرمز رنگ).



شکل ۶- پهنه‌های سیلاب ناشی از محل تلاقی رودخانه قره‌سو با رودخانه گرگانرود

زیرحوضه‌های غربی گرگانرود به دلیل پوشش گیاهی مناسب از جهت تأثیر پوشش گیاهی در تولید رواناب، کمتر مورد توجه قرار گرفته است، البته در بالادست حوضه منطقه سیاه مرزکوه به جهت ارتفاع و شرایط اقلیمی پوشش گیاهی از جنگل به مرتع فقیر تبدیل می‌شود، که در این صورت هنگامی که مرکز ثقل بارش در بالادست حوضه باشد، عامل پوشش گیاهی را می‌توان به عنوان یکی از فاکتورهای مؤثر در حمل و انباشت رسوبات در محل تلاقی دو رودخانه گرگانرود و قره‌سو دانست (شکل ۶).

با توجه به بازدیدهای میدانی انجام شده (شکل ۷) و بررسی نتایج در بازه‌های مورد مطالعه، موارد ذکر شده در ادامه جزو مهمترین دلایل ایجاد سیلاب در بازه‌های مورد مطالعه می‌باشند.

(۱) در محدوده روستای سلاقیلقی تا روستای سقرلیقی (شکل ۶-بازه اول)، وجود سازندهای حساس زمین‌شناسی و فرسایش سریع و ایجاد بار رسوی که سبب مضاعف شدن قدرت تخریبی سیلاب می‌گردد، از مهمترین عوامل مؤثر در خروج سیلاب از مدخل رودخانه در این محدوده می‌باشد. سیلاب وارد شده از رودخانه قره‌سو به دلیل شیب نسبتاً بالا، مواد جامد و معلق زیادی را با خود به رودخانه گرگانزود وارد می‌کند که این جریان سیلاب از قدرت تخریب بالاتری نسبت به جریان سیلاب وارد شده از محدوده شرقی رودخانه گرگانزود (خروجی سد وشمگیر) دارد. مواد جامد حمل شده به مرور باعث تخریب دیوارهای کانال و کاهش عرض بستر کانال رودخانه گرگانزود و همچنین ایجاد پیچانزود جدید در بازه اول را در پی خواهد داشت (شکل ۶).

(۲) در محدوده روستای قانقرمه تا روستای محمدآلق (شکل ۶-بازه دوم)، به دلیل تغییر کاربری اراضی در حریم رودخانه و همچنین کشاورزی خارج از قائله باعث از بین رفتن ساختار طبیعی رودخانه شده است و همچنین تخلیه نخاله‌ها و عدم لایروبی رودخانه در این محدوده باعث کاهش عرض بستر رودخانه شده است. همچنین شیب طولی بسیار پایین رودخانه و وجود خاک لس که جز فرسایش پذیرترین نوع خاک‌ها می‌باشد، از حساسیت بیشتری برخوردار است. این محدوده تقریباً کمترین تعداد پیچانزود را نسبت به سایر بازه‌ها دارد و همچنین میانگین شعاع قوس پیچانزودها در بازه دوم به نسبت از سایر بازه‌ها بزرگتر می‌باشد، به همین دلیل شرایط مورفوژئیکی نسبتاً مناسبی نسبت به سایر بازه‌ها دارد. وجود پل با دهانه بسیار نامناسب (شکل ۷-C) در روستای محمدآلق و تجاوز به حریم کمی رودخانه (حریم کمی رودخانه گرگانزود برابر ۲۰ متر از طرفین رودخانه می‌باشد، گزارش شرکت آب منطقه‌ای استان گلستان، ۱۳۹۶) و ایجاد بازار هفتگی در آن به مرور باعث تخریب دیوارهای رودخانه و نایداری دیوارهای آن شده که باعث کاهش عرض بستر در محدوده پل محمدآلق شده است.

(۳) در محدوده شهری آق‌قلاء (شکل ۶-بازه سوم)، ضریب سینوزیته رودخانه برابر $1/414$ می‌باشد، وضعیت مورفوژئی رودخانه در این محدوده نسبتاً مناسب می‌باشد. عمق رودخانه در بازه سوم و چهارم نسبتاً کمتر از بازه‌های اول و دوم است و رابطه مستقمی بین کاهش ضریب سینوزیته و کاهش عمق در این ناحیه وجود دارد. در محیط شهری آق‌قلاء، کانالیزه کردن رودخانه در نزدیکی سه پل موجود در شهر آق‌قلاء باعث تثیت دیوارهای رودخانه شده است (شکل ۷-D). رسوبات حمل شده از بالادست رودخانه گرگانزود (بازه اول) از اول تا دهم فروردین ۱۳۹۸ باعث تجمع رسوبات در نزدیکی پایه‌های پل و مسدوده شدن برخی دهانه‌های پل شده است (شکل ۷-G). در سیل بهار ۱۳۹۸ به دلیل اینکه حجم عمدۀ سیلاب در نزدیکی روستای سلاقیلقی از مدخل رودخانه خارج

شده است، حجم سیلاب نسبتاً کمتری وارد محیط شهری آق‌قلا شده است (شکل ۶-بازه دوم)، لذا این بازه از رودخانه گرگانرود توانایی عبور سیلاب را داشته است.

۴) در حد فاصل شهر آق‌قلا تا روستای دوگونچی (شکل ۶-بازه چهارم)، روستای آق‌قبر شیب طبیعی کanal از (دو در ده هزار به یک در ده هزار) تغییر می‌کند، این تغییر شیب باعث پس‌زدگی جریان در نزدیکی پل آق‌قبر می‌شود، همچنین تغییر عرض بستر بسیار زیاد (عرض بستر رودخانه در شرق پل حدود ۴۰ متر و در غرب پل در حدود ۸۵ متر) باعث بوجود آمدن جریان غیریکنواخت شده و در پی آن رسوبات انباسه بسیار زیادی در دهانه‌های کناری پل آق‌قبر به دام افتاده است که باعث بالا آمدن سطح جریان سیلاب می‌شود. در محدوده روستای آق‌قبر تخلیه نخاله‌های ساختمانی و وجود درختچه‌های گز باعث افزایش ضریب زبری بستر شده است که این علت هم باعث کاهش سرعت جریان سیلاب و به تبع آن گیر افتادن سیلاب در این ناحیه می‌شود که باعث بالا آمدن سطح جریان در کanal رودخانه در محیط شهری آق‌قلا شده و سیلاب از مدخل رودخانه خارج می‌گردد و وارد محیط نفوذناپذیر شهری شده است (شکل F,G-۷).

بعد از بررسی پهنه‌های سیلاب مشخص شد روستاهای دوگونچی و قانقرمه در معرض خطر سیلاب این رودخانه با توجه سیلاب با دوره بازگشت ۵۰ ساله قرار ندارند، اما روستاهای سیدلر، سلاق یلقی و مناطق شمالی شهر آق‌قلا در معرض خطر سیلاب این رودخانه برای دوره بازگشت‌های ۵۰ ساله به بالا قرار دارند. برای جلوگیری از ورود سیلاب به مناطق شهری، شهر آق‌قلا باید وضعیت رودخانه در حد فاصل روستای سلاق یلقی تا قانقرمه به علت وجود پیچانرود زیاد و عدم وجود دیواره‌سازی مناسب و لایروبی نشدن رودخانه، ملاحظات جدی صورت گیرد، حجم زیادی از سیلاب اخیر از این مناطق با توجه به شیب و توپوگرافی منطقه از سمت شرقی و شمال‌شرقی وارد محیط شهری آق‌قلا شده است (شکل ۶-بازه ۱).

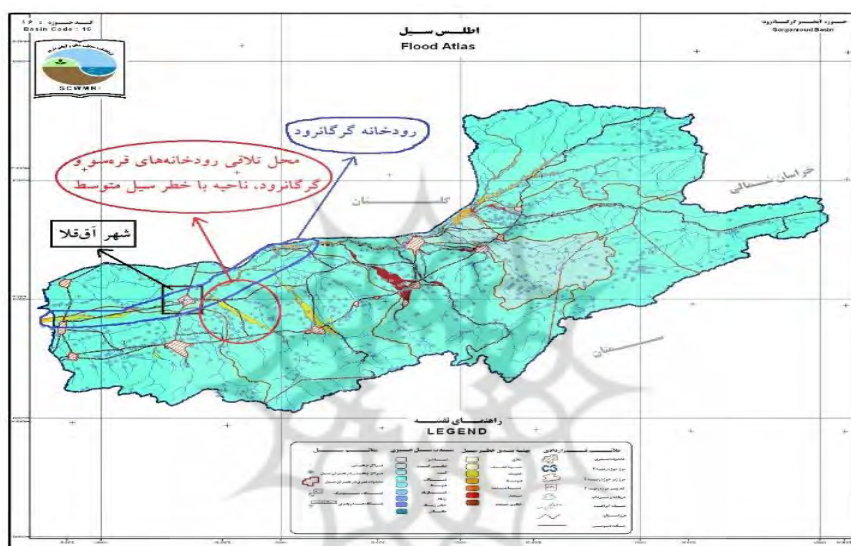




شکل ۷- تصاویر میدانی گرفته شده از بازه‌های مورد مطالعه؛ (B) مسیر رودخانه در بازه اول در نزدیکی روستای سلاقیلقی، (C) پل نامناسب در مسیر رودخانه در بازه دوم در نزدیکی شهر آق‌قلاء، (D) تراز کف نامناسب پل و عدم لایروبی رودخانه در بازه سوم شهر آق‌قلاء، (E) عدم دیواره‌سازی مناسب رودخانه در بازه سوم پل تاریخی آق‌قلاء، (F) نبود شبی مناسب و تخلیه نخاله در حريم رودخانه و عدم دیواره‌سازی کانال در بازه چهارم، (G) تغییر شدید عرض رودخانه و شبی نامناسب و عدم لایروبی رودخانه در بازه چهارم (منبع: نگارند، ۱۳۹۸)

نقشه‌های پهن‌بندی سیل بدهست آمده (شکل ۴) با اطلس سیل تهیه شده توسط (پژوهشکده حفاظت خاک و آبخیزداری کشور-۱۳۸۵) که در (شکل ۸) نشان داده شده است مقایسه گردید. براساس نتایج پژوهشکده حفاظت خاک و آبخیزداری، رودخانه گرگانرود به سه قسمت سراب گرگانرود، گرگانرود میانی و پایاب گرگانرود تقسیم‌بندی شده است که از نظر سیل‌خیزی گرگانرود میانی که در محدوده شهر گنبدکاووس تا شهر آق‌قلاء قرار دارد در طبقه خطر شدید سیل واقع شده است. از مهمترین علل آن می‌توان به ورود سیلاب زیرشاخه‌های رودخانه قره‌سو به رودخانه گرگانرود در محدوده روستای سلاقیلقی اشاره کرد که با رسوبی بسیار زیادی را از بالادست حوضه آبخیز قره‌سو وارد رودخانه گرگانرود می‌کند (شکل ۶)، این امر موجب تنگ‌شدگی و کاهش شدید عرض مقطع رودخانه در محدوده روستای سلاقیلقی تا روستای محمدآلق شده و به همین دلیل حجم سیلاب زیادی از این بستر

رودخانه خارج شده و وارد دشت‌های پست مجاور می‌شود (شکل ۹، دایره قرمز رنگ). در نقشه‌های پهنه‌بندی سیل بدبست آمده (شکل ۴) بیشترین مساحت پهنه‌های سیلاب در ناحیه شهر آق‌قلما در محدوده روستای سلاق‌یلقی تا روستای قانقرمه وجود دارد. با توجه به اینکه بیشترین حجم سیلاب در این ناحیه (جنوب‌شرقی شهر آق‌قلما) با گل‌ولای همراه بود این پهنه‌ها توسط شاخص MNDWI شناسایی شده (شکل ۵)، که براساس نقشه‌های پهنه‌بندی سیل بدبست آمده به کمک شاخص MNDWI (شکل ۵) ناحیه گرگانرود میانی در طبقه خطر سیل خیلی شدید قرار دارد، که با اطلس سیل تهیه شده توسط پژوهشکده حفاظت خاک و آبخیزداری (شکل ۸) تطابق بسیار زیادی دارد.



شکل ۸- اطلس سیل حوضه آبخیز گرگانرود (منبع: پژوهشکده حفاظت خاک و آبخیزداری کشور، ۱۳۸۵)

۵- جمع‌بندی

بر اساس گزارش‌های شرکت آب منطقه‌ای استان گلستان دبی با دوره بازگشت ۵۰ ساله برای رودخانه گرگانرود برابر ۷۹۰ متر مکعب بر ثانیه می‌باشد که با توجه به هیدرولوگراف سیلاب ۱۳۹۸ گلستان، سیلاب با دبی پیک ۷۳۹ متر مکعب بر ثانیه در رودخانه گرگانرود جریان داشته است در حالی که میانگین ظرفیت عبوری گرگانرود در حدود ۱۲۰ متر مکعب بر ثانیه می‌باشد، بنابراین پهنه‌های سیلابی که در تاریخ چهاردهم و شانزدهم فروردین بدبست آمد ناشی از دبی ۷۳۹ متر مکعب بر ثانیه می‌باشد، در این تاریخ تقریباً ۵۱ کلیومترمربع از شهر آق‌قلما تحت تأثیر سیلاب قرار گرفت که نیمة شمالی شهر آق‌قلما به طور کامل سیلابی شد. بررسی شرایط مورفولوژی کanal رودخانه گرگانرود نشان داده که علاوه بر شدت جریان سیلاب، ضرب خمیدگی بالا و عدم دیواره سازی و وجود پل‌های نامناسب در بازه اول و دوم و تجاوز به حریم رودخانه و عدم لایروبی کanal در بازه سوم و شبیه نامناسب و تغییرات شدید

عرض بستر و تخلیه نخاله در بازه چهارم از مهمترین علل بوجود آمدن سیلاب در شهر آق قلا می‌باشد. با توجه به اینکه شهرستان آق قلا از مناطق سیل خیز استان گلستان می‌باشد لذا نقشه‌های پهنه‌بندی سیلاب می‌تواند یک ابزار بسیار کاربردی برای مسیر توسعه شهرستان آق قلا در سال‌های آتی باشد، همچنین با شناسایی مناطق حساس و پرخطر رودخانه از نظر مورفولوژی و پهنه‌های سیلاب ناشی از آن می‌توان راهکارهایی را برای جلوگیری از بروز خسارات جانی و مالی ارائه کرد و در نهایت نقشه‌های پهنه‌بندی سیلاب و راهکارهای پیشنهادی از جمله ساخت بندهای انحرافی، تغییر کاربری اراضی، اصلاح ساختار رودخانه در نقاط بحرانی و بهبود ساختار مورفولوژی کanal و غیره را در اختیار سازمان‌های مرتبط قرار داد تا تصمیم‌گیری‌های مناسب را اتخاذ کنند.

۶- تشکر و قدردانی

نویسنده‌گان مقاله از اداره منابع طبیعی و آبخیزداری و شرکت آب منطقه‌ای استان گلستان بابت در اختیار قرار دادن گزارش‌های سیلاب ۱۳۹۸ گلستان تشکر می‌کنند.

کتابنامه

بیاتی خطیبی، مریم؛ ۱۳۹۲. بررسی تغییرات زمانی کانال‌های فعال در مسیرهای پیچان‌دار با استفاده از روش‌های تجربی و با استناد به لایه‌بندی رسوبات کناری، مطالعه موردی: مسیر پیچان‌دار آجی چای. جغرافیا و برنامه‌ریزی محیطی. تابستان. سال ۲۶، پیاپی ۵۸.

جعفر بیگلو، منصور؛ باقری سید شکری، سجاد؛ نگهبان، سعید؛ صفرزاد، طاهر؛ ۱۳۹۱. بررسی تغییرات بستر و ویژگی‌های ژئومورفیکی رودخانه گیلانغرب در سال‌های ۱۳۴۴ تا ۱۳۸۱. پژوهش‌های ژئومورفیکی کمی. شماره ۲. پاییز ۱۳۹۱، صص ۸۷-۱۰۲.

جوکار سرهنگی، عیسی؛ تلنگ، ابراهیم؛ لرستانی، قاسم؛ ۱۳۹۶. بررسی تغییرات مورفومتری رودخانه با تأکید بر پیچان‌رودها (مطالعه موردی: رودخانه چهل چای-نرماب). فصلنامه علمی-پژوهشی آمایش جغرافیایی فضای دانشگاه گلستان. سال هفتم. شماره مسلسل ۲۶، صص ۳۰-۱۷.

یمانی، مجتبی؛ دولتی، جواد؛ زارعی، علیرضا؛ ۱۳۸۹. تأثیرگذاری عوامل هیدرولوژیک در تغییرات زمانی و مکانی بخش میانی رودخانه اترک. تحقیقات جغرافیایی. زمستان. سال بیست و پنجم شماره ۴ (پیاپی ۹۹). صص ۱-۲۴.

یمانی، مجتبی؛ نوحه‌گر، احمد؛ ۱۳۸۲. بررسی وضعیت ژئومورفولوژیکی پیچان‌رود و نقش آن در فرسایش بستر و کناره‌های رودخانه میناب (پایین دست سد میناب). پژوهش‌های جغرافیایی. شماره ۵۱. بهار. صص ۸۴-۶۵.

Balasch, JC., Pino D., Ruiz-Bellet, JL., Tuset, J., Barriendos, M., Castelltort, X., & Peña JC., 2019. The extreme floods in the Ebro River basin since 1600 CE. Science of the Total Environment. Elsevier B.V. 646: 645–660. Available at: <https://doi.org/10.1016/j.scitotenv.2018.07.325>

Di Baldassarre, G., & Uhlenbrook, S., 2012. Is the current flood of data enough? A treatise on

- research needs for the improvement of flood modelling. *Hydrological Processes* 26(1):153–158, DOI:10.1002/hyp.8226
- Du, Y., Zhang, Y., Ling, F., Wang, Q., Li, W., & Li, X., 2016. Water Bodies' Mapping from Sentinel-2 Imagery with Modified Normalized Difference Water Index at 10-m Spatial Resolution Produced by Sharpening the SWIR Band. *Remote Sensing* 8(4):354. Available at: <http://www.mdpi.com/2072-4292/8/4/354>
- Himayoun, D., & Roshni, T., 2020. Geomorphic changes in the Jhelum River due to an extreme flood event: a case study. *Arabian Journal of Geosciences. Arabian Journal of Geosciences* 13(2):12-23. DOI: 10.1007/s12517-019-4896-9
- Kumar, R., Kamal, V., & Singh, RK., 2013. Geomorphic Effects of 2011 Floods on Channel Belt Parameters of Rapti River: A Remote Sensing and GIS Approach. *Corona Journal of Science and Technology* 2(Ii):4–12, ISSN: 2319 – 6327 (Online), Vol. 2, No. II (2013), pp. 4-12
- Kwang, C., Matthew, E., Jnr, O., & Amoah, AS., 2018. Comparing of Landsat 8 and Sentinel 2A using Water Extraction Indexes over Volta River. *Journal of Geography and Geology;* Vol. 10, No. 1; 10(1):1–7. DOI: 10.5539/jgg.v10n1p1
- Langat, PK., Kumar, L., & Koech, R., 2019. Monitoring river channel dynamics using remote sensing and GIS techniques. *Geomorphology.* Elsevier B.V 325:92–102. Available at: <https://doi.org/10.1016/j.geomorph.2018.10.007>
- McFeeters, SK., 1996. The use of the Normalized Difference Water Index (NDWI) in the delineation of open water features. *International Journal of Remote Sensing* 17(7):1425–1432, <https://doi.org/10.1080/01431169608948714>
- Musa, ZN., Popescu, I., & Mynett, A., 2015. A review of applications of satellite SAR, optical, altimetry and DEM data for surface water modelling, mapping and parameter estimation. *Hydrology and Earth System Sciences* 19(9): 3755–3769, doi:10.5194/hess-19-3755-2015
- Nandi, I., Srivastava, PK., & Shah, K., 2017. Floodplain Mapping through Support Vector Machine and Optical / Infrared Images from Landsat 8 OLI / TIRS Sensors : Case Study from Varanasi. *Water Resources Management. Water Resources Management.* Available at: <http://dx.doi.org/10.1007/s11269-017-1568-y>
- Szantoi, Z., & Strobl, P., 2019. Copernicus Sentinel-2 Calibration and Validation. *European Journal of Remote Sensing. Taylor & Francis* 52(1):253–255. Available at: <https://doi.org/10.1080/22797254.2019.1582840>
- Wang, Y., Colby, JD., & Mulcahy, KA., 2002. An efficient method for mapping flood extent in a coastal floodplain using Landsat TM and DEM data. *International Journal of Remote Sensing* 23(18):3681–3696, <https://doi.org/10.1080/01431160110114484>
- Xu, H., 2006. Modification of normalised difference water index (NDWI) to enhance open water features in remotely sensed imagery. *International Journal of Remote Sensing* 27(14):3025–3033, <https://doi.org/10.1080/01431160600589179>
- Zhou, Y., He, B., Xiao, F., Feng, Q., Kou, J., & Liu, H., 2019. Retrieving the lake trophic level index with landsat-8 image by atmospheric parameter and RBF: A case study of Lakes in Wuhan, China. *Remote Sensing* 11(4), <https://doi.org/10.3390/rs11040457>